

# Зонная структура сверхпроводящих фотонных кристаллов

© Ю.Е. Лозовик, С.Л. Эйдерман

Институт спектроскопии Российской академии наук,  
142190 Троицк, Московская обл., Россия  
E-mail: lozovik@isan.troitsk.ru

(Поступила в Редакцию в окончательном виде 24 марта 2008 г.)

Изучена зонная структура двумерного сверхпроводящего фотонного кристалла, представляющего собой периодическую систему бесконечных по длине непрекращающихся цилиндров, имеющих круглое сечение. Результаты получены с помощью метода разложения собственных функций по плоским волнам. Проанализирована фотонная зонная структура для двух температур — вблизи и вдали от точки сверхпроводящего перехода. Оказалось, что двумерный сверхпроводящий фотонный кристалл обладает при низких температурах полной и неполной запрещенными зонами, которые с повышением температуры смещаются в коротковолновую область.

Работа поддержана грантом РФФИ.

PACS: 42.70.Qs, 74.25.Gz, 74.78.Fk, 85.25.-j

## 1. Введение

Фотонные кристаллы [1] представляют собой в основном искусственные структуры с периодически меняющейся в пространстве диэлектрической проницаемостью. В силу этой периодичности уравнения, определяющие спектр фотонных кристаллов, получаемые из уравнения Максвелла, похожи на уравнение Шредингера, определяющее энергетический спектр электронов в обычном кристалле.

Разумеется указанная выше аналогия является неполной. Во-первых, собственные функции для фотонного кристалла — векторные, а не скалярные, как для электронов, и поэтому, в частности, фотонные щели могут зависеть от поляризации поля. Во-вторых, лишь для простых частотных зависимостей диэлектрической функции материалов, составляющих фотонный кристалл, уравнения, определяющие спектр фотонного кристалла, сводятся к уравнению типа Шредингера [2].

Тем не менее из-за периодичности электромагнитные волны в фотонных кристаллах имеют зонный спектр и координатную зависимость, аналогичную блоховским волнам электронов в кристалле. При определенных условиях в зонной структуре фотонного кристалла образуются щели аналогично запрещенным электронным зонам в естественных кристаллах. Ширина этих щелей зависит от геометрических параметров фотонного кристалла, так и от диэлектрических свойств материалов, образующих фотонный кристалл [3].

В зависимости от свойств фотонного кристалла могут образовываться как полностью запрещенные по частоте зоны, для которых распространение излучения невозможно вне зависимости от его поляризации и направления, так и частично запрещенные, в которых распространение невозможно лишь для определенных поляризаций. Указанные свойства позволяют применять фотонные кристаллы в качестве оптических фильтров или поляризаторов. Наряду с этим фотонные кристаллы

предоставляют возможность манипулировать испусканием и распространением света [3,4]. Для ряда потенциальных применений фотонных кристаллов в СВЧ- и терагерцевой области важно наличие инфракрасной щели в спектре фотонного кристалла. Но поскольку в волновое уравнение диэлектрические проницаемости  $\epsilon(\omega, r)$  входят в комбинации как  $\frac{\omega^2 \epsilon(\omega, r)}{c^2}$ , при малых частотах  $\omega$  амплитуда пространственного изменения  $\omega^2 \epsilon(\omega, r)$ , необходимая для возникновения низкочастотной щели в спектре, достигается лишь в том случае, если при  $\omega \rightarrow 0$  величина  $\omega^2 \epsilon(\omega, r) \rightarrow \text{const}$ . Это реализуется в металлических фотонных кристаллах (см. далее). Но недостатком металлических фотонных кристаллов является наличие затухания, ухудшающего „качество“ фотонной щели. Поэтому в настоящей работе мы рассматриваем новый тип фотонных кристаллов — сверхпроводящие фотонные кристаллы, затухание в которых подавлено при частотах ниже сверхпроводящей щели. Дополнительным преимуществом сверхпроводящих фотонных кристаллов является возможность управления их сверхпроводящей щелью, а следовательно, и электромагнитными свойствами (в частности, фотонной щелью) с помощью температуры и внешних магнитных полей (см., например, [5–8]).

В настоящей работе с помощью метода разложения по плоским волнам мы рассчитали фотонные зоны двумерного фотонного кристалла, элементы которого представляют собой неперекрывающиеся, бесконечные по длине сверхпроводящие цилиндры, образующие квадратную решетку.

## 2. Метод разложения по плоским волнам

Для расчета дисперсионной картины фотонных кристаллов был разработан или адаптирован ряд методик.

Наименее громоздким и требовательным к компьютерным ресурсам является метод расчета фотонной

зонной структуры с помощью разложения собственных функций по плоским волнам (Plane wave expansion method) [9–12]. Этот метод основан на разложении диэлектрической проницаемости, являющейся в фотонном кристалле периодической функцией координат и пространственно-периодической части электромагнитного поля, в ряде Фурье. В зависимости от требуемой точности ряд обрывается на некотором члене, и решается получающаяся система алгебраических уравнений для коэффициентов Фурье. Из условия нетривиальности ее разрешимости — обращения в нуль соответствующего детерминанта — получается зонный спектр фотонного кристалла. Таким образом, ясно, что в общем случае требуется численный расчет коэффициентов ряда Фурье разложения диэлектрической проницаемости. Но в том случае, когда элементы фотонного кристалла имеют высокую степень симметрии (шары, цилиндра, прямоугольные параллелепипеды), эти коэффициенты могут быть вычислены аналитически.

Нашей задачей является получение дисперсионной зависимости — зависимости частоты поля от волнового вектора. Запишем для диэлектрической функции фотонного кристалла

$$\varepsilon(\mathbf{x}) = \sum_{\mathbf{G}} \varepsilon(\mathbf{G}) e^{i\mathbf{G}\mathbf{x}}. \quad (1)$$

Коэффициенты Фурье  $\varepsilon(\mathbf{G})$  могут быть получены интегрированием по всей площади ячейки Вигнера–Зейтца,  $\mathbf{G}$  — вектор обратной решетки системы.

Для рассматриваемых периодических структур диэлектрическая проницаемость может быть записана в виде

$$\varepsilon(\mathbf{x}) = \varepsilon_0 + (\varepsilon - \varepsilon_0) \sum_l \Theta(x - x(l)), \quad (2)$$

где  $\Theta(\mathbf{x}) = 1$  внутри элемента фотонного кристалла и  $\Theta(\mathbf{x}) = 0$  вне его. В данном случае предполагается, что элементы фотонного кристалла находятся в вакууме, поэтому  $\varepsilon_0 = 1$ . С учетом указанного выше коэффициенты Фурье в двумерном фотонном кристалле запишутся в виде

$$\varepsilon(\mathbf{G}) = \delta_{\mathbf{G}0} + (\varepsilon - 1)M_{\mathbf{G}0},$$

где

$$M_{\mathbf{G}0} = \frac{1}{S} \int d^2\mathbf{x} \Theta(\mathbf{x}) e^{-i\mathbf{G}\mathbf{x}}. \quad (3)$$

Здесь интегрирование ведется по всей плоскости  $XU$  элементарной ячейки. Пусть элементы фотонного кристалла имеют форму неперекрывающихся цилиндров. Тогда интеграл принимает вид [10]

$$M_{\mathbf{G}0} = 2f_p \frac{J_1(|\mathbf{G}|x)}{(|\mathbf{G}|x)}, \quad (4)$$

где  $f_p$  — фактор заполнения,  $J_1$  — функция Бесселя первого рода.

Так как мы рассматриваем только волны, распространяющиеся в определенной плоскости, можно разделить задачу на две и рассмотреть отдельно  $E$ - и  $H$ -поляризации.

Для простоты ограничимся рассмотрением  $E$ -поляризованной волны. Из уравнений Максвелла, разлагая пространственно-периодическую часть электрического поля в ряд Фурье внутри фотонного кристалла, можно получить следующее выражение:

$$(\mathbf{k} + \mathbf{G})^2 E_k(\mathbf{G}) = \frac{\omega^2}{c^2} \sum_{\mathbf{G}'} \varepsilon(\mathbf{G} - \mathbf{G}') E_k(\mathbf{G}'). \quad (5)$$

Подставляя (4) и (5), получим для двумерного фотонного кристалла

$$\begin{aligned} & \sum_{\mathbf{G}'} \delta_{\mathbf{G}\mathbf{G}'} (\mathbf{k} + \mathbf{G})^2 E_k(\mathbf{G}') \\ & = \frac{\omega^2}{c^2} \sum_{\mathbf{G}'} (\delta_{\mathbf{G}\mathbf{G}'} + (\varepsilon - 1)M_{\mathbf{G}\mathbf{G}'} ) E_k(\mathbf{G}'). \end{aligned} \quad (6)$$

Полученное уравнение позволяет определить собственные значения  $\frac{\omega^2}{c^2}$ . Для каждого заданного значения  $\mathbf{k}$  уравнение (6) может быть представлено в виде

$$AE = \frac{\omega^2}{c^2} BE, \quad (7)$$

где  $A$  и  $B$  — матрицы в уравнении (7). Уравнение (7) может быть решено с помощью диагонализации матрицы  $B^{-1}A$ . Для каждого значения  $\mathbf{k}$  таким образом будет получен набор собственных частот  $\omega(\mathbf{k})$ , каждая из которых является непрерывной функцией  $\mathbf{k}$  и образует отдельную дисперсионную кривую. Если волновой вектор в ячейке обратной решетки будет меняться по контуру в первой зоне Бриллюэна, содержащему все точки симметрии для данной решетки, полученные зависимости  $\omega(\mathbf{k})$  дадут зонную структуру фотонного кристалла.

Перейдем теперь к расчету зонного спектра фотонного кристалла из сверхпроводящих элементов. Мы используем квазилокальное описание для диэлектрических свойств системы (см. [13]). Для применения метода плоских волн требуется аналитическое выражение для диэлектрической проницаемости как функции частоты. Поэтому для упрощения используем выражение для диэлектрической проницаемости в рамках двухжидкостной модели Казимира–Гортера, качественно правильно описывающее сверхпроводник ниже критической температуры. В рамках этой модели предполагается, что вдали от точки сверхпроводящего перехода внутри сверхпроводника существуют две независимые электронные компоненты — сверхпроводящая и нормальная, концентрации которых зависят от температуры.

Диэлектрическая проницаемость в такой модели определяется соотношением

$$\varepsilon(\omega) = 1 - \frac{P^2}{\omega^2} - \frac{\omega_p^2}{\omega(\omega + i\gamma)}. \quad (8)$$

Здесь второе и третье слагаемые отвечают сверхпроводящей и нормальной компонентам соответственно;  $\omega_p$  — плазменная частота, соответствующая нормальной компоненте;  $\omega_p = \sqrt{\frac{4\pi n_n e^2}{m}}$  ( $n_n$  — плотность нормальной

компоненты);  $\gamma$  — коэффициент затухания;  $P = c/\delta_L$ , где  $c$  — скорость света, а  $\delta_L$  — лондоновская глубина проникновения; величины  $\omega_p$  и  $\delta_L$  зависят от температуры  $T$ .

При переходе в нормальное состояние плотность сверхпроводящей компоненты обращается в нуль, а нормальной — становится равной полной плотности, и выражение (8) переходит в формулу Друде

$$\varepsilon(\omega) = 1 - \frac{\omega_p^2}{\omega(\omega + i\gamma)}. \quad (9)$$

При температуре  $T \rightarrow 0$  плотность нормальной компоненты обращается в нуль, и выражение (8) переходит в

$$\varepsilon(\omega) = 1 - \frac{P^2}{\omega^2}. \quad (10)$$

Подставляя выражение (8) в (6), получим уравнение для нахождения собственных значений. Тогда выражение (6) можно переписать в следующем виде:

$$\delta_{GG'} \frac{c^2}{\omega^2} (k + G)^2 = \delta_{GG'} - \frac{P^2 M_{GG'}}{\omega^2} - \frac{\omega_p^2 M_{GG'}}{\omega(\omega + i\gamma)}. \quad (11)$$

После приведения нелинейного матричного уравнения к полиномиальному виду по степени  $\omega$  получаем

$$\frac{\omega^3}{c^3} I_{GG'} + C \frac{\omega^2}{c^2} - B \frac{\omega}{c} - A = 0. \quad (12)$$

Полиномиальное уравнение на собственные значения эквивалентно линейному уравнению на собственные значения  $Tu = \omega u$  с матрицей  $T$ , составленной из коэффициентов многочлена в левой части уравнения (12).

Матрица  $T$  линейного уравнения в  $n$  раз больше исходных матриц, где  $n$  — порядок многочлена; она имеет вид

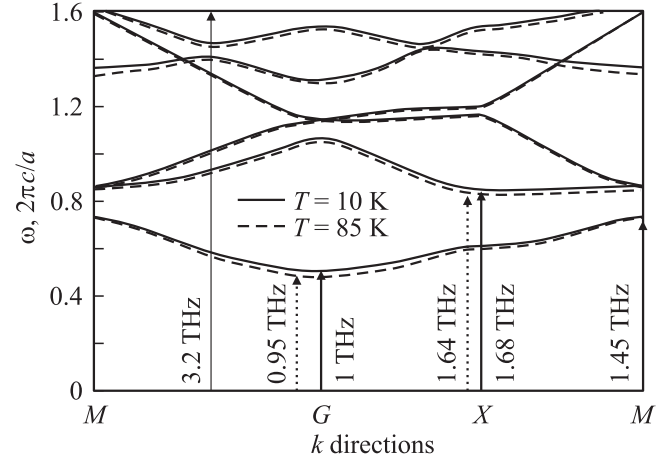
$$T = \begin{pmatrix} 0 & I & 0 \\ 0 & 0 & I \\ A & B & C \end{pmatrix}, \quad (13)$$

где  $I = \delta_{GG'}$ ,  $A = \frac{i\gamma}{c^3} (P^2 M_{GG'} + \delta_{GG'} (k + G)^2)$ ,  $B = \frac{P^2}{c^2} M_{GG'} + \frac{\omega_p^2}{c^2} M_{GG'} + \delta_{GG'} (k + G)^2$ ,  $C = -i \frac{\gamma}{c} \delta_{GG'}$ .

Среди решений уравнения  $Tu = \omega u$  имеются лишние решения, соответствующие незатухающим со временем модам электромагнитного поля, поэтому в данной задаче необходим отбор решений. Физическим критерием для отбора является условие  $\text{Im} \omega \geq 0$ , что соответствует затухающим в металле модам электромагнитного поля. Отсортировав соответствующим образом решения, можно получить искомые дисперсионные кривые.

### 3. Результаты

Перейдем к рассмотрению результатов. Мы построили кривые, полученные методом разложения собственных решений по плоским волнам. Расчеты проводились для модельного высокотемпературного сверхпроводни-



Зонная структура  $\omega(\mathbf{k})$  для двумерного сверхпроводящего фотонного кристалла YBaCuO с квадратной решеткой, состоящего из бесконечных цилиндров с круглым сечением. E-поляризация.  $T = 85$  и  $10$  K,  $f_p = 5\%$ ,  $a = 150 \mu\text{m}$ .

ка, для которого в нормальном состоянии плазменная частота и затухание равны соответствующим величинам для YBaCuO:  $\omega_p = 1.67 \cdot 10^{15} \text{ s}^{-1}$ ,  $\gamma = 1.84 \cdot 10^{13} \text{ s}^{-1}$ . Постоянная двумерной квадратной решетки фотонного кристалла была выбрана равной  $a = 150 \mu\text{m}$ , фактор заполнения  $f_p = 5\%$ . Полную концентрацию электронов находим из экспериментальных данных для плазменной частоты:  $\omega_p^2 = \frac{4\pi n e^2}{m}$ . В двухжидкостной модели предполагается, что при стремлении температуры к абсолютному нулю вся нормальная компонента переходит в сверхпроводящую, поэтому в предельных случаях  $T \gg T_c$  и  $T = 0$  нормальная и сверхпроводящая концентрации соответственно равны полной концентрации электронов  $n$ . Отметим, однако, что фактически в случае, когда в сверхпроводнике существуют одновременно сверхпроводящая и нормальная компоненты, их сумма немного отличается от полной концентрации электронов [6]. Меняя лондоновскую глубину проникновения для различных температур, можно влиять на фотонный зонный спектр.

Далее приведем данные расчетов для сверхпроводника YBaCuO. Глубина проникновения, например, при температуре  $T = 85$  K составляет  $\delta_L = 370 \text{ nm}$ , а при  $T = 10$  K  $\delta_L = 180 \text{ nm}$ .

Кроме того, спектром фотонного кристалла и его оптическими свойствами можно управлять с помощью внешнего магнитного поля. На рисунке представлены дисперсионные зависимости  $\omega(\mathbf{k})$  для  $\delta_L = 370$  и  $180 \text{ nm}$ . По оси  $x$  указаны основные симметричные направления, по которым меняется волновой вектор в первой зоне Бриллюэна, по оси  $y$  указаны частоты, отложенные в решеточных единицах  $2\pi c/a$ , где  $a$  — период решетки фотонного кристалла. Если осуществить соответствующий пересчет, то видно, что край полной нижней запрещенной зоны соответствует частоте  $f = 0.95 \text{ THz}$ . Верхняя щель лежит в диапазоне  $1.45 \leq f \leq 1.64 \text{ THz}$ . Следует также отметить образование двух неполных

запрещенных зон, лежащих выше указанных зон по направлению  $GX$ .

Рассмотрим, как изменится результат при уменьшении температуры до  $T = 10$  К, что соответствует глубине проникновения  $\delta_L = 180$  nm. Край нижней запрещенной зоны сместился в высокочастотную область  $f = 1$  THz. Край верхней щели также сместился в высокочастотную область:  $1.45 \leq f \leq 1.68$  THz. Неполные запрещенные зоны по направлению  $GX$  также смещаются в высокочастотную область.

Отметим, что данный расчет справедлив только для частот, лежащих внутри сверхпроводящей щели:  $\hbar\omega < 3.62kT_c$ , т.е. для  $f < 3.43$  THz. В диапазоне существенно выше указанной частоты сверхпроводник ведет себя с большой точностью как нормальный металл (см., например, [5]).

#### 4. Заключение

Проведен расчет зонной структуры двумерного сверхпроводящего фотонного кристалла,  $YBaCuO$ , состоящего из бесконечных цилиндров, образующих квадратную решетку. Вычисления показывают, что данный кристалл обладает при низких температурах двумя полными запрещенными зонами и двумя неполными, которые с понижением температуры смещаются в высокочастотную область.

Таким образом, данный тип фотонного кристалла может быть использован в низкотемпературной области в качестве высокочастотного фильтра с управляемыми путем изменения температуры, магнитного поля и геометрии параметрами фотонной щели.

#### Список литературы

- [1] Yablonovitch. Phys. Rev. Lett. **58**, 2059 (1987).
- [2] O.L. Berman, Yu.E. Lozovik, S.L. Eiderman, R.D. Coalson. Phys. Rev. B **74**, 092 505 (2006).
- [3] Sailing He, Sanshui Xiao, Linfang Shen, Jianping He, Jian Fu. J. Phys. A: Math. Gen. **34**, 9713 (2001).
- [4] S.Y. Lin, J.G. Fleming, I. El-Kady. Phys. Rev. Lett. **83**, 380 (2003).
- [5] D.N. Basov, T. Timusk. Rev. Mod. Phys. **77**, 15 (2005).
- [6] П.И. Арсеев, С.О. Лойко, Н.К. Федоров. УФН **176**, 3 (2006).
- [7] А.В. Долгов, Е.Г. Максимов. УФН **135**, 441 (1981).
- [8] O.V. Dolgov, D.A. Kirzhnits, E.G. Maksimov. Rev. Mod. Phys. **53**, 81 (1981).
- [9] A.A. Maradudin, A.R. McGurn. Phys. Rev. B **48**, 17 576 (1993).
- [10] J.D. Joannopoulos, R.D. Meade, J.N. Winn. Photonic crystals: the road from theory to practice. Princeton University Press, Princeton, N.J. (1995). 611 p.
- [11] B. Schulkin, L. Sztancsik, J.F. Federici. Am. J. Phys. **72**, 1051 (2004).
- [12] Z. Sun, H.K. Kim. Appl. Phys. Lett. **85**, 642 (2004).
- [13] Yu.E. Lozovik, A.V. Klyuchnik. In: The dielectric function of condensed systems / Eds L.V. Keldysh, D.A. Kerzhnits, A.A. Maradudin. Elsevier (1987). P. 299.